

بِسْمِ اللَّهِ الرَّحْمَنِ الرَّحِيمِ



دانشکده علوم

گروه زیست‌شناسی

پایان‌نامه جهت اخذ درجه کارشناسی ارشد در رشته زیست‌شناسی گرایش فیزیولوژی گیاهی

عنوان

بررسی تنوع ژنهای کدکننده‌ی آنزیم بتاگلوکاناز در سویه‌های بومی باسیلوس جدا شده از محصولات
زراعی - باغی کشور

نگارش

شعله ده‌پهلوان

استاد راهنما

دکتر جلیل خارا

دکتر مریم هاشمی

استاد مشاور

دکتر مریم موسیوند

آذرماه ۱۳۹۲

حق چاپ و تکثیر مطالب این پایان‌نامه برای دانشگاه ارومیه محفوظ است.

فهرست مطالب

صفحه	عنوان
	فصل اول: مقدمه
۳	۱-۱. زیست توده گیاهی
۴	۲-۱. ساختار سلولز
۶	۳-۱. انواع سلولاز
۸	۴-۱. بتاگلوکانازها
۹	۵-۱. اهمیت مطالعه آنزیم بتاگلوکاناز
۱۰	۶-۱. سوبسترا
۱۱	۷-۱. فعالیت بتاگلوکانازها در گیاهان
۱۲	۸-۱. انواع بتاگلوکانازها
۱۴	۹-۱. طبقه‌بندی سلولازها
۱۴	۱۰-۱. ساختار سلولازها
۱۵	۱۱-۱. خانواده‌های گلیکوزید هیدرولازها
۱۵	۱-۱۱-۱. خانواده‌ی ۵ گلیکوزید هیدرولاز
۱۶	۲-۱۱-۱. خانواده‌ی ۶ گلیکوزید هیدرولاز
۱۶	۳-۱۱-۱. خانواده‌ی ۸ گلیکوزید هیدرولاز
۱۷	۴-۱۱-۱. خانواده‌ی ۹ گلیکوزید هیدرولاز
۱۸	۵-۱۱-۱. خانواده‌ی ۴۵ گلیکوزید هیدرولاز
۱۹	<i>Bacillus</i> . ۱۲-۱
۱۹	گونه <i>Bacillus subtilis</i> . ۱۳-۱
۲۰	۱۴-۱. بررسی تنوع
۲۰	۱-۱۴-۱. تنوع ژنتیکی
۲۰	۲-۱۴-۱. روش‌های ارزیابی تنوع ژنتیکی
۲۱	۳-۱۴-۱. بیولوژی مولکولی آنزیم بتاگلوکاناز
۲۱	۱-۳-۱۴-۱. ژنهای کدکننده‌ی آنزیم بتاگلوکاناز
۲۲	۲-۳-۱۴-۱. بیانی از بتا ۱ و ۳ و ۴ گلوکاناز باکتریایی
۲۲	۱-۲-۳-۱۴-۱. تنظیم بیان ژن در باسیلوس‌ها

۲۳	۱-۱۴-۳-۲. بیان هترولوگ
۲۳	۱-۱۴-۴. خصوصیات بیوشیمیایی آنزیم بتاگلوکاناز
۲۴	۱-۱۵. روش سطح پاسخ
۲۵	۱-۱۶. اهمیت و ضرورت انجام تحقیق
۲۵	۱-۱۷. هدف از انجام پژوهش
۲۶	۱-۱۸. تعریف واژه‌ها واصطلاحات تخصصی

فصل دوم: مواد و روش‌ها

۲۸	۲-۱. غربال سویه‌های باکتریایی <i>Bacillus sp.</i> جدا شده از برخی مزارع و باغات میوه بر اساس توانایی تولید آنزیم بتاگلوکاناز
۲۹	۲-۲. ردیابی مولکولی ژن کد کننده آنزیم بتاگلوکاناز در جدایه‌های منتخب
۳۱	۲-۳. استخراج DNA ژنومی با استفاده از کیت استخراج
۳۳	۲-۳-۱. اندازه‌گیری غلظت DNA استخراج شده
۳۳	۲-۳-۲. ارزیابی کیفیت DNA استخراج شده
۳۴	۲-۴. شناسایی جدایه‌های منتخب با استفاده از روش‌های بیوشیمیایی و مولکولی (16S rDNA)
۳۵	۲-۵. انجام واکنش زنجیره‌ای پلیمرز (PCR) به منظور تکثیر ژن بتاگلوکاناز
۳۸	۲-۵-۱. بازیابی (ریکاوری) قطعات تکثیر شده با استفاده از کیت
۴۰	۲-۵-۲. تعیین توالی
۴۰	۲-۵-۳. آنالیز فیلوژنتیکی
۴۰	۲-۶. تولید آنزیم بتاگلوکاناز
۴۲	۲-۷. مواد مورد استفاده در اندازه‌گیری کمی فعالیت آنزیمی
۴۲	۲-۷-۱. معرف دی نیترو سالیسیلیک اسید
۴۳	۲-۷-۲. بافرهای سیترات و فسفات
۴۳	۲-۸. منحنی استاندارد گلوکز
۴۴	۲-۹. تعیین ویژگی‌های کاتالیتیکی و شرایط بهینه فعالیت آنزیم بتاگلوکاناز جدایه‌های منتخب
۴۴	۲-۹-۱. روش اندازه‌گیری فعالیت آنزیم بتاگلوکاناز
۴۵	۲-۹-۲. تعیین کمی فعالیت آنزیم بتاگلوکاناز جدایه‌های منتخب
۴۶	۲-۱۰. تعیین شرایط بهینه فعالیت بتاگلوکاناز جدایه‌های منتخب به روش سطح پاسخ
۴۷	۲-۱۱. تأیید صحت مدل‌های حاصل از بهینه‌سازی به روش سطح پاسخ

- ۴۸-۲. بررسی پایداری آنزیم بتاگلوکاناز جدایه‌های منتخب در دماهای مختلف ۴۸
- ۴۸-۲. بررسی پایداری آنزیم بتاگلوکاناز جدایه‌های منتخب در pH های مختلف ۴۸
- ۴۸-۲. بررسی تاثیر خواص مهارکنندگی و یا القاکنندگی عناصر فلزی و مواد شیمیایی بر فعالیت آنزیم بتاگلوکاناز جدایه‌های منتخب ۴۸
- ۴۹-۲. بررسی پایداری فعالیت آنزیم در غلظت‌های متفاوت سدیم کلرید ۴۹
- ۴۹-۲. بررسی پایداری فعالیت آنزیم بتاگلوکاناز سویه‌های منتخب در حضور اتانول ۴۹
- ۴۹-۲. بررسی میزان فعالیت آنزیم بتاگلوکاناز جدایه‌های منتخب در غلظت‌های مختلف سوبسترای لچینن ۴۹
- ۴۹-۲. سنجش میزان فعالیت آنزیم بتاگلوکاناز با استفاده از سوبسترای بتاگلوکان و کربوکسی‌متیل سلولز ۴۹

فصل سوم : نتایج و تجزیه و تحلیل

- ۵۱-۳.۱. غربال سویه‌های باکتریایی *Bacillus sp.* حاصل از برخی مزارع و باغ‌های میوه بر اساس توانایی تولید آنزیم بتاگلوکاناز ۵۱
- ۵۱-۳.۲. استخراج DNA ۵۱
- ۵۲-۳.۳. شناسایی مولکولی جدایه‌ها با استفاده از λ srDNA ۱۶ ۵۲
- ۵۳-۳.۴. تکثیر ژن اندو بتاگلوکاناز با استفاده از آغازگرهای *Bs cel up* و *Bgls in*, Cell 73 ۵۳
- ۵۵-۳.۵. آنالیز فیلوژنتیکی ۵۵
- ۵۷-۳.۶. تولید آنزیم بتاگلوکاناز توسط سویه‌های منتخب ۵۷
- ۵۸-۳.۷. تعیین دامنه آزمایشی برای طراحی آزمایش‌ها ۵۸
- ۵۹-۳.۸. تعیین ویژگی‌های آنزیم بتاگلوکاناز سویه‌های منتخب ۵۹
- ۵۹-۳.۸-۱. تعیین ویژگی‌های آنزیم بتاگلوکاناز سویه‌های منتخب به روش سطح پاسخ ۵۹
- ۶۰-۳.۸-۲. تعیین دما، pH و غلظت سوبسترای بهینه فعالیت آنزیم بتاگلوکاناز *Bacillus subtilis S7e* ۶۰
- ۶۶-۳.۸-۲-۱. بررسی پایداری فعالیت آنزیمی بتاگلوکانازهای سویه *S7e* در pH های متفاوت ۶۶
- ۶۶-۳.۸-۲-۲. بررسی پایداری فعالیت آنزیم بتاگلوکاناز *Bacillus subtilis S7e* در دماهای مختلف ۶۶
- ۶۷-۳.۸-۲-۳. بررسی تاثیر سدیم کلرید (NaCl) بر فعالیت آنزیم بتاگلوکاناز *Bacillus subtilis S7e* ۶۷
- ۶۸-۳.۸-۲-۴. بررسی تاثیر اتانول بر فعالیت آنزیم‌های بتاگلوکاناز *Bacillus subtilis S7e* ۶۸
- ۶۸-۳.۸-۲-۵. بررسی تاثیر محرک‌ها و مهارکننده‌ها بر فعالیت آنزیم بتاگلوکاناز *Bacillus subtilis S7e* ۶۸
- ۷۰-۳.۸-۳. تعیین دما، pH و غلظت سوبسترای بهینه فعالیت آنزیم بتاگلوکاناز *Bacillus subtilis T37a* ۷۰
- ۷۵-۳.۸-۳-۱. بررسی پایداری فعالیت آنزیمی بتاگلوکانازهای سویه *T37a* در pH های متفاوت ۷۵

- ۷۶ ۳-۸-۴. تعیین دما، pH و غلظت سوبسترای بهینه فعالیت آنزیم بتاگلوکاناز *Bacillus subtilis*K36p88
- ۸۰ ۳-۸-۴-۱. بررسی پایداری فعالیت آنزیمی بتاگلوکانازهای سویه K36p88 در pHهای متفاوت
- ۸۱ ۳-۸-۵. تعیین دما، pH و غلظت سوبسترای بهینه فعالیت آنزیم بتاگلوکاناز *Bacillus subtilis*H14h
- ۸۶ ۳-۸-۵-۱. بررسی پایداری فعالیت آنزیمی بتاگلوکانازهای سویه H14h در pHهای متفاوت
- ۸۷ ۳-۸-۵-۲. بررسی پایداری فعالیت آنزیم بتاگلوکاناز *Bacillus subtilis* H14h در دماهای مختلف
- ۸۸ ۳-۸-۵-۳. بررسی تاثیر سدیم کلرید (NaCl) بر فعالیت آنزیم بتاگلوکاناز *Bacillus subtilis* H14h
- ۸۸ ۳-۸-۵-۴. بررسی تاثیر اتانول بر فعالیت آنزیمهای بتاگلوکاناز *Bacillus subtilis* H14h
- ۸۹ ۳-۸-۵-۵. بررسی تاثیر محرکها و مهارکنندهها بر فعالیت آنزیم بتاگلوکاناز *Bacillus subtilis* H14h
- ۹۱ ۳-۸-۶. تعیین دما، pH و غلظت سوبسترای بهینه فعالیت آنزیم بتاگلوکاناز *Bacillus subtilis*B5d
- ۹۵ ۳-۸-۶-۱. بررسی پایداری فعالیت آنزیمی بتاگلوکانازهای B5d در pHهای متفاوت
- ۹۶ ۳-۸-۶-۲. بررسی پایداری فعالیت آنزیم بتاگلوکاناز *Bacillus subtilis* B5d در دماهای مختلف
- ۹۷ ۳-۸-۶-۳. بررسی تاثیر سدیم کلرید (NaCl) بر فعالیت آنزیم بتاگلوکاناز *Bacillus subtilis* B5d
- ۹۷ ۳-۸-۶-۴. بررسی تاثیر اتانول بر فعالیت آنزیمهای بتاگلوکاناز *Bacillus subtilis* B5d
- ۹۸ ۳-۸-۶-۵. بررسی تاثیر محرکها و مهارکنندهها بر فعالیت آنزیم بتاگلوکاناز *Bacillus subtilis* B5d
- ۱۰۰ ۳-۸-۷. تعیین دما، pH و غلظت سوبسترای بهینه فعالیت آنزیم بتاگلوکاناز *Bacillus subtilis* D3d
- ۱۰۴ ۳-۸-۷-۱. بررسی پایداری فعالیت آنزیمی بتاگلوکانازهای سویه D3d در pHهای متفاوت
- ۱۰۵ ۳-۸-۸. تعیین دما، pH و غلظت سوبسترای بهینه فعالیت آنزیم بتاگلوکاناز *Bacillus subtilis* H14d
- ۱۰۹ ۳-۸-۸-۱. بررسی پایداری فعالیت آنزیمی بتاگلوکانازهای سویه H14d در pHهای متفاوت
- ۱۱۰ ۳-۸-۹. تعیین دما، pH و غلظت سوبسترای بهینه فعالیت آنزیم بتاگلوکاناز *Bacillus subtilis* K2b
- ۱۱۵ ۳-۸-۹-۱. بررسی پایداری فعالیت آنزیمی بتاگلوکانازهای سویه K2b در pHهای متفاوت
- ۱۱۵ ۳-۸-۹-۲. بررسی پایداری فعالیت آنزیم بتاگلوکاناز *Bacillus subtilis* K2b در دماهای مختلف
- ۱۱۶ ۳-۸-۹-۳. بررسی تاثیر سدیم کلرید (NaCl) بر فعالیت آنزیم بتاگلوکاناز *Bacillus subtilis* K2b
- ۱۱۷ ۳-۸-۹-۴. بررسی تاثیر اتانول بر فعالیت آنزیمهای بتاگلوکاناز *Bacillus subtilis* K2b
- ۱۱۷ ۳-۸-۹-۵. بررسی تاثیر محرکها و مهارکنندهها بر فعالیت آنزیم بتاگلوکاناز *Bacillus subtilis* K2b
- ۱۱۹ ۳-۹. بررسی میزان فعالیت آنزیم بتاگلوکاناز جدایه‌های منتخب *Bacillus subtilis* در سوبستراهای لچین و بتاگلوکان و کربوکسی‌متیل سلولز
- ۱۲۰ ۳-۱۰. سنجش آنزیم با سوبسترای لچین در غلظت‌های مختلف

فصل چهارم : بحث و نتیجه گیری

۱۲۲

بحث و نتیجه گیری

فصل پنجم: فهرست منابع و مأخذ

۱۳۱

فهرست منابع و مأخذ

فصل ششم: پیوستها

۱۴۲

پیوستها

فهرست شکل‌ها

- شکل ۱-۱. شمائی از زیست توده لینگوسلولز
۳
- شکل ۲-۱. ساختار رشته‌های سلولز
۵
- شکل ۳-۱. نمایش شماتیکی از بتا گلوکان
۱۰
- شکل ۴-۱. هیدرولیز آنزیمی دیواره سلولی گیاهان (۳و۱) (۴و۱) بتا دی گلوکان‌ها
۱۱
- شکل ۵-۱. ساختار سلولاز در حال تجزیه زنجیره سلولز
۱۵
- شکل ۶-۱. انواع تاخوردگی دمن کاتالیتیکی در خانواده‌های مختلف گلیکوزید هیدرولازها
۱۸
- شکل ۱-۳. نمونه نتیجه مثبت آزمون کیفی تولید آنزیم بتاگلوکاناز توسط جدایه باکتریایی که به صورت هاله شفاف مشاهده می‌شود.
۵۱
- شکل ۲-۳. نتیجه استخراج DNA
۵۲
- شکل ۳-۳. تکثیر ژن بتاگلوکاناز توسط PCR
۵۳
- شکل ۴-۳. تکثیر ژن بتاگلوکاناز توسط PCR
۵۴
- شکل ۵-۳. تکثیر ژن بتاگلوکاناز توسط PCR
۵۴
- شکل ۶-۳. درخت فیلوژنی
۵۷
- شکل ۷-۳. منحنی استاندارد گلوکز
۵۷
- شکل ۸-۳. مقایسه فعالیت آنزیم بتاگلوکاناز سویه‌های باکتریایی غربال شده از فیلوسفر و ریزوسفر محصولات زراعی در ۴/۶pH و دماهای مختلف
۵۸
- شکل ۹-۳. مقایسه فعالیت آنزیم بتاگلوکاناز سویه‌های باکتریایی غربال شده از فیلوسفر محصولات باغی در ۴/۶pH و دماهای مختلف
۵۸
- شکل ۱۰-۳. نمودار سه‌بعدی اثر متقابل تغییرات pH و دما بر فعالیت بتاگلوکاناز *Bacillus subtilis* S7e در نقطه مرکزی غلظت سوبسترا
۶۲
- شکل ۱۱-۳. نمودار سه‌بعدی اثر متقابل تغییرات pH و غلظت سوبسترا بر فعالیت بتاگلوکاناز *Bacillus subtilis* S7e در نقطه مرکزی دما
۶۳
- شکل ۱۲-۳. نمودار سه‌بعدی اثر متقابل تغییرات دما و غلظت سوبسترا بر فعالیت بتاگلوکاناز *Bacillus subtilis* S7e در نقطه مرکزی pH
۶۳
- شکل ۱۳-۳. نمودار قیاس همبستگی داده‌های تجربی و پیش‌بینی شده *Bacillus subtilis* S7e
۶۴
- شکل ۱۴-۳. نمودار توزیع باقیمانده مقادیر پیش‌بینی شده *Bacillus subtilis* S7e
۶۵
- شکل ۱۵-۳. نمودار تاثیر pHهای مختلف بر پایداری فعالیت آنزیمی *Bacillus subtilis* S7e
۶۶

- شکل ۳-۱۶. نمودار بررسی پایداری آنزیم‌های بتاگلوکاناز *Bacillus subtilis* S7e در دماهای مختلف
 ۶۷
- شکل ۳-۱۷. نمودار تاثیر غلظت مختلف سدیم کلرید بر فعالیت آنزیم بتاگلوکاناز *Bacillus subtilis* s7e
 ۶۸
- شکل ۳-۱۸. نمودار تاثیر محرک‌ها و مهارکننده‌ها بر فعالیت آنزیم بتاگلوکاناز *Bacillus subtilis* S7e
 ۶۹
- شکل ۳-۱۹. نمودار سه‌بعدی اثر متقابل pH و دما بر فعالیت بتاگلوکاناز *Bacillus subtilis* T37a در نقطه
 ۷۱
 مرکزی غلظت سوبسترا
- شکل ۳-۲۰. نمودار سه‌بعدی اثر متقابل pH و غلظت سوبسترا بر فعالیت بتاگلوکاناز *Bacillus subtilis*
 ۷۲
 T37a در نقطه مرکزی دما
- شکل ۳-۲۱. نمودار سه‌بعدی اثر متقابل دما و غلظت سوبسترا بر فعالیت بتاگلوکاناز *Bacillus subtilis* T37a
 ۷۳
 در نقطه مرکزی pH
- شکل ۳-۲۲. نمودار قیاس همبستگی داده‌های تجربی و پیش‌بینی شده *Bacillus subtilis* T37a
 ۷۴
- شکل ۳-۲۳. نمودار توزیع باقیمانده مقادیر پیش‌بینی شده *Bacillus subtilis* T37a
 ۷۴
- شکل ۳-۲۴. نمودار تاثیر pHهای مختلف بر پایداری فعالیت آنزیمی *Bacillus subtilis* T37a
 ۷۵
- شکل ۳-۲۵. نمودار سه‌بعدی اثر متقابل pH و دما بر فعالیت بتاگلوکاناز *Bacillus subtilis* K36p88 در نقطه
 ۷۷
 مرکزی غلظت سوبسترا
- شکل ۳-۲۶. نمودار سه‌بعدی اثر متقابل pH و غلظت سوبسترا بر فعالیت بتاگلوکاناز *Bacillus subtilis*
 ۷۷
 K36p88 در نقطه مرکزی دما
- شکل ۳-۲۷. نمودار سه‌بعدی اثر متقابل دما و غلظت سوبسترا بر فعالیت بتاگلوکاناز *Bacillus subtilis*
 ۷۸
 K36p88 در نقطه مرکزی pH
- شکل ۳-۲۸. نمودار قیاس همبستگی داده‌های تجربی و پیش‌بینی شده *Bacillus subtilis* K36p88
 ۷۹
- شکل ۳-۲۹. نمودار توزیع باقیمانده مقادیر پیش‌بینی شده *Bacillus subtilis* K36p88
 ۷۹
- شکل ۳-۳۰. نمودار تاثیر pHهای مختلف بر پایداری فعالیت آنزیمی *Bacillus subtilis* K36p88
 ۸۱
- شکل ۳-۳۱. نمودار سه‌بعدی اثر متقابل pH و دما بر فعالیت بتاگلوکاناز *Bacillus subtilis* H14h در نقطه
 ۸۲
 مرکزی غلظت سوبسترا
- شکل ۳-۳۲. نمودار سه‌بعدی اثر متقابل pH و غلظت سوبسترا بر فعالیت بتاگلوکاناز *Bacillus subtilis* H14h
 ۸۳
 در نقطه مرکزی دما
- شکل ۳-۳۳. نمودار سه‌بعدی اثر متقابل دما و غلظت سوبسترا بر فعالیت بتاگلوکاناز *Bacillus subtilis* H14h
 ۸۴
 در نقطه مرکزی pH

- شکل ۳-۳۴. نمودار قیاس همبستگی داده‌های تجربی و پیش‌بینی شده *Bacillus subtilis*H14h
- شکل ۳-۳۵. نمودار توزیع باقیمانده مقادیر پیش‌بینی شده *Bacillus subtilis*H14h
- شکل ۳-۳۶. نمودار تاثیر pH های مختلف بر پایداری فعالیت آنزیمی *Bacillus subtilis* H14h
- شکل ۳-۳۷. نمودار بررسی پایداری آنزیم‌های بتاگلوکاناز *Bacillus subtilis* H14h در دماهای مختلف
- شکل ۳-۳۸. نمودار تاثیر غلظت‌های مختلف سدیم کلرید بر فعالیت آنزیم بتاگلوکاناز *Bacillus subtilis* H14h
- شکل ۳-۳۹. تاثیر محرک‌ها و مهارکننده‌ها بر فعالیت آنزیم بتاگلوکاناز *Bacillus subtilis* H14h
- شکل ۳-۴۰. نمودار سه‌بعدی اثر متقابل دما و pH بر فعالیت بتاگلوکاناز *Bacillus subtilis* B5d در نقطه مرکزی غلظت سوبسترا
- شکل ۳-۴۱. نمودار سه‌بعدی اثر متقابل pH و غلظت سوبسترا بر فعالیت بتاگلوکاناز *Bacillus subtilis* B5d در نقطه مرکزی دما
- شکل ۳-۴۲. نمودار سه‌بعدی اثر متقابل دما و غلظت سوبسترا بر فعالیت بتاگلوکاناز *Bacillus subtilis* B5d در نقطه مرکزی pH
- شکل ۳-۴۳. نمودار قیاس همبستگی داده‌های تجربی و پیش‌بینی شده *Bacillus subtilis* B5d
- شکل ۳-۴۴. نمودار توزیع باقیمانده مقادیر پیش‌بینی شده *Bacillus subtilis* B5d
- شکل ۳-۴۵. نمودار تاثیر pH های مختلف بر پایداری فعالیت آنزیمی *Bacillus subtilis* B5d
- شکل ۳-۴۶. نمودار پایداری آنزیم‌های بتاگلوکاناز *Bacillus subtilis* B5d در دماهای مختلف
- شکل ۳-۴۷. نمودار تاثیر غلظت‌های مختلف سدیم کلرید بر فعالیت آنزیم بتاگلوکاناز *Bacillus subtilis* B5d
- شکل ۳-۴۸. نمودار تاثیر محرک‌ها و مهارکننده‌ها بر فعالیت آنزیم بتاگلوکاناز *Bacillus subtilis* B5d
- شکل ۳-۴۹. نمودار سه‌بعدی اثر متقابل دما و pH بر فعالیت بتاگلوکاناز *Bacillus subtilis* D3d در نقطه مرکزی غلظت سوبسترا
- شکل ۳-۵۰. نمودار سه‌بعدی اثر متقابل pH و غلظت سوبسترا بر فعالیت بتاگلوکاناز *Bacillus subtilis* D3d در نقطه مرکزی دما
- شکل ۳-۵۱. نمودار سه‌بعدی اثر متقابل دما و غلظت سوبسترا بر فعالیت بتاگلوکاناز *Bacillus subtilis* D3d در نقطه مرکزی pH
- شکل ۳-۵۲. نمودار قیاس همبستگی داده‌های تجربی و پیش‌بینی شده *Bacillus subtilis* D3d
- شکل ۳-۵۳. نمودار توزیع باقیمانده مقادیر پیش‌بینی شده *Bacillus subtilis* D3d
- شکل ۳-۵۴. نمودار تاثیر pH های مختلف بر پایداری فعالیت آنزیمی *Bacillus subtilis* D3d
- شکل ۳-۵۵. نمودار سه‌بعدی اثر متقابل دما و pH بر فعالیت بتاگلوکاناز *Bacillus subtilis* H14d در نقطه

مرکزی غلظت سوبسترا

شکل ۳-۵۶. نمودار سه‌بعدی اثر متقابل pH و غلظت سوبسترا بر فعالیت بتاگلوکاناز *Bacillus subtilis* H14d
در نقطه مرکزی دما

شکل ۳-۵۷. نمودار سه‌بعدی اثر متقابل دما و غلظت سوبسترا بر فعالیت بتاگلوکاناز *Bacillus subtilis* H14d در
نقطه مرکزی pH

شکل ۳-۵۸. نمودار قیاس همبستگی داده‌های تجربی و پیش‌بینی شده *Bacillus subtilis* H14d

شکل ۳-۵۹. نمودار توزیع باقیمانده مقادیر پیش‌بینی شده *Bacillus subtilis* H14d

شکل ۳-۶۰. نمودار تاثیر pHهای مختلف بر پایداری فعالیت آنزیمی *Bacillus subtilis* H14d

شکل ۳-۶۱. نمودار سه‌بعدی اثر متقابل دما و pH بر فعالیت بتاگلوکاناز *Bacillus subtilis* K2b در نقطه مرکزی
غلظت سوبسترا

شکل ۳-۶۲. نمودار سه‌بعدی اثر متقابل pH و غلظت سوبسترا بر فعالیت بتاگلوکاناز *Bacillus subtilis* K2b
در نقطه مرکزی دما

شکل ۳-۶۳. نمودار سه‌بعدی اثر متقابل دما و غلظت سوبسترا بر فعالیت بتاگلوکاناز *Bacillus subtilis* K2b در
نقطه مرکزی pH

شکل ۳-۶۴. نمودار قیاس همبستگی داده‌های تجربی و پیش‌بینی شده *Bacillus subtilis* K2b

شکل ۳-۶۵. نمودار توزیع باقیمانده مقادیر پیش‌بینی شده *Bacillus subtilis* K2b

شکل ۳-۶۶. نمودار تاثیر pHهای مختلف بر پایداری فعالیت آنزیمی *Bacillus subtilis* K2b

شکل ۳-۶۷. نمودار بررسی پایداری آنزیم‌های بتاگلوکاناز *Bacillus subtilis* K2b در دماهای مختلف

شکل ۳-۶۸. نمودار تاثیر غلظت‌های مختلف سدیم کلرید بر فعالیت آنزیم بتاگلوکاناز *Bacillus subtilis* K2b

شکل ۳-۶۹. نمودار تاثیر محرک‌ها و مهارکننده‌ها بر فعالیت آنزیم بتاگلوکاناز *Bacillus subtilis* K2b

شکل ۳-۷۰. نمودار بررسی میزان فعالیت آنزیم جدایه‌های *Bacillus subtilis* در سوبستراهای لچینن و بتاگلوکان

شکل ۳-۷۱. نمودار بررسی میزان فعالیت آنزیم جدایه‌های *Bacillus subtilis* در غلظت‌های مختلف سوبسترای

لچینن

فهرست جدول‌ها

۲۹	جدول ۱-۲. سویه‌های استفاده شده در بررسی تنوع ژنی
۳۱	جدول ۲-۲. مقادیر مورد نیاز از محلول‌ها و بافرهای موجود در کیت جهت استخراج DNA
۳۱	جدول ۳-۲. (E.L.B)Enzymatic Lysis Buffer
۳۴	جدول ۴-۲. مشخصات آغازگرهای مورد استفاده در تکثیر 16S rDNA
۳۵	جدول ۵-۲. شرایط دمایی و زمانی چرخه‌های مختلف دستگاه ترموسایکلر برای آغازگرهای pA
۳۶	جدول ۶-۲. مشخصات آغازگرها
۳۶	جدول ۷-۲. مواد لازم برای تکثیر DNA در حجم نهایی ۵۰ میکرولیتر
۳۷	جدول ۸-۲. شرایط دمایی و زمانی چرخه‌های مختلف دستگاه ترموسایکلر برای آغازگرهای CelL73(beta)
۳۷	جدول ۹-۲. شرایط دمایی و زمانی چرخه‌های مختلف دستگاه ترموسایکلر برای آغازگرهای Bs cel up
۳۸	جدول ۱۰-۲. شرایط دمایی و زمانی چرخه‌های مختلف دستگاه ترموسایکلر برای آغازگرهای Bgls in
۴۱	جدول ۱۱-۲. کد و منبع جداسازی جدایه‌های منتخب
۴۱	جدول ۱۲-۲. فرمول محیط کشت NBY
۴۲	جدول ۱۳-۲. فرمول محیط کشت تولید آنزیم
۴۳	جدول ۱۴-۲. فرمول بافر فسفات با pHهای موردنظر
۴۳	جدول ۱۵-۲. فرمول بافر سیترات با pHهای موردنظر
۴۳	جدول ۱۶-۲. فرمول بافر Tris-glycin با PHهای موردنظر
۴۵	جدول ۱۷-۲. کد و منبع جداسازی سی جدایه‌ی مورد بررسی در سنجش کمی بتاگلوکاناز
۴۶	جدول ۱۸-۲. دامنه و سطوح متغیرهای آزمایشی در طرح مرکب مرکزی
۴۷	جدول ۱۹-۲. طرح آزمایشی مرکب مرکزی سه متغیره برای بهینه‌سازی شرایط کاتالیتیکی جدایه‌های منتخب به روش RSM
۵۲	جدول ۱-۳. بتاگلوکانازهای مورد بررسی بر اساس آنالیز Blast
۵۶	جدول ۲-۳. طبقه بندی بتاگلوکانازهای مورد بررسی بر اساس آنالیز Blast
۵۹	جدول ۳-۳. تیمارهای مورد بررسی در طرح مرکب مرکزی و میزان فعالیت بتاگلوکانازی سویه‌های S7e,T37a,K36p88,H14h
۶۰	جدول ۴-۳. تیمارهای مورد بررسی در طرح مرکب مرکزی و میزان فعالیت بتاگلوکانازی سویه‌های B5d,D3d,H14d,K2b
۶۱	جدول ۵-۳. آنالیز واریانس (ANOVA) سطح پاسخ مدل درجه دوم برای فعالیت آنزیم‌های بتاگلوکاناز

S7e سویه

۶۵ جدول ۳-۶. تعیین صحت مدل آنزیم بتاگلوکاناز *Bacillus subtilis*S7e

۶۸ جدول ۳-۷. تاثیر اتانول بر فعالیت آنزیم بتاگلوکاناز *Bacillus subtilis* S7e

۶۹ جدول ۳-۸. تاثیر محرک‌ها و مهارکننده‌ها بر فعالیت آنزیم بتاگلوکاناز *Bacillus subtilis* S7e

۷۱ جدول ۳-۹. آنالیز واریانس (ANOVA) سطح پاسخ مدل درجه دوم برای فعالیت آنزیم‌های بتاگلوکاناز سویه

T37a

۷۵ جدول ۳-۱۰. تعیین صحت مدل آنزیم بتاگلوکاناز *Bacillus subtilis*T37a

۷۶ جدول ۳-۱۱. آنالیز واریانس (ANOVA) سطح پاسخ مدل درجه دوم برای فعالیت آنزیم‌های بتاگلوکاناز سویه

K36p88

۸۰ جدول ۳-۱۲. تعیین صحت مدل آنزیم بتاگلوکاناز *Bacillus subtilis*K36p88

۸۲ جدول ۳-۱۳. آنالیز واریانس (ANOVA) سطح پاسخ مدل درجه دوم برای فعالیت آنزیم‌های بتاگلوکاناز سویه

H14h

۸۶ جدول ۳-۱۴. تعیین صحت مدل آنزیم بتاگلوکاناز سویه *Bacillus subtilis*H14h

۸۸ جدول ۳-۱۵. تاثیر اتانول بر فعالیت آنزیم بتاگلوکاناز *Bacillus subtilis* H14h

۸۹ جدول ۳-۱۶. تاثیر محرک‌ها و مهارکننده‌ها بر فعالیت آنزیم بتاگلوکاناز *Bacillus subtilis*H14h

۹۱ جدول ۳-۱۷. آنالیز واریانس (ANOVA) سطح پاسخ مدل درجه دوم برای فعالیت آنزیم‌های بتاگلوکاناز سویه

B5d

۹۵ جدول ۳-۱۸. تعیین صحت مدل آنزیم بتاگلوکاناز سویه *Bacillus subtilis* B5d

۹۷ جدول ۳-۱۹. تاثیر اتانول بر فعالیت آنزیم بتاگلوکاناز *Bacillus subtilis* B5d

۹۸ جدول ۳-۲۰. تاثیر محرک‌ها و مهارکننده‌ها بر فعالیت آنزیم بتاگلوکاناز *Bacillus subtilis*B5d

۱۰۰ جدول ۳-۲۱. آنالیز واریانس (ANOVA) سطح پاسخ مدل درجه دوم برای فعالیت آنزیم‌های بتاگلوکاناز سویه

D3d

۱۰۴ جدول ۳-۲۲. تعیین صحت مدل آنزیم بتاگلوکاناز *Bacillus subtilis* D3d

۱۰۵ جدول ۳-۲۳. آنالیز واریانس (ANOVA) سطح پاسخ مدل درجه دوم برای فعالیت آنزیم‌های بتاگلوکاناز سویه

H14d

۱۰۹ جدول ۳-۲۴. تعیین صحت مدل آنزیم بتاگلوکاناز سویه *Bacillus subtilis* H14d

۱۱۰ جدول ۳-۲۵. آنالیز واریانس (ANOVA) سطح پاسخ مدل درجه دوم برای فعالیت آنزیم‌های بتاگلوکاناز سویه

K2b

۱۱۴ جدول ۳-۲۶. تعیین صحت مدل آنزیم بتاگلوکاناز *Bacillus subtilis* K2b

۱۱۷ جدول ۳-۲۷. تاثیر اتانول بر فعالیت آنزیم بتاگلوکاناز *Bacillus subtilis* K2b

۱۱۸ جدول ۳-۲۸. تاثیر محرک‌ها و مهارکننده‌ها بر فعالیت آنزیم بتاگلوکاناز *Bacillus subtilis*K2b

۱۴۳	جدول ۶-۱. فهرست تجهیزات مورد استفاده
۱۴۴	جدول ۶-۲. مواد شیمیایی مورد استفاده
۱۴۴	جدول ۶-۳. کیت‌های مورد استفاده در بخش مولکولی
۱۴۴	جدول ۶-۴. محیط کشت های مورد استفاده
۱۴۵	جدول ۶-۵. نرم‌افزارهای مورد استفاده
۱۴۵	جدول ۶-۶. جدول مربوط به واحدها
۱۴۶	جدول ۶-۷. جدول مربوط به اختصارات

چکیده:

بتاگلوکانازها از اعضای خانواده گلیکوزید هیدرولازها بوده که هیدرولیز پیوندهای گلیکوزیدی بتا ۱ و ۴ را در بتاگلوکانها کاتالیز می‌کنند. این گروه از آنزیم‌ها براساس شباهت توالی‌های اسید آمینه نواحی کاتالیتیکی خود در ۱۵ خانواده از ۸۶ خانواده گلیکوزید هیدرولازها گروه‌بندی شده‌اند. در این پژوهش هدف، تعیین توالی ژن‌های کد کننده آنزیم بتاگلوکاناز و طبقه‌بندی سویه‌های مورد بررسی بر اساس نوع خانواده آنزیمی و تعیین شرایط بهینه کاتالیتیکی آنزیم‌های تولیدی به روش سطح پاسخ بود. در این بررسی ۲۷ سویه از *Bacillus subtilis* جدا شده از باغات و مزارع کشور بر اساس توانایی تولید آنزیم بتاگلوکاناز، غربال شده و با استفاده از پرایمرهای اختصاصی، ژن آنزیم بتاگلوکاناز تکثیر، تعیین توالی و در پایگاه اطلاعاتی NCBI ثبت شد. آنالیز توالی‌های به دست آمده و رسم درخت فیلوژنی با استفاده از نرم‌افزار vector NTI و Mega.4 انجام شد. مقایسه توالی آمینواسیدی ژن‌های اندو بتا ۱ و ۴ گلوکاناز در جدایه‌های مورد بررسی نشان داد که تمام جدایه‌ها دارای ژن‌های مذکور بوده و به ترتیب در خانواده‌های گلیکوزید هیدرولازهای ۵ و ۱۶ قرار می‌گیرند. همچنین جدایه‌های مورد مطالعه خانواده ۵ گلیکوزید هیدرولازها براساس تنوع در توالی آمینواسیدی ژن اندو بتا ۱ و ۴ گلوکاناز در ۱۱ گروه طبقه‌بندی شدند. همچنین فعالیت آنزیمی، آنزیم‌های تولید شده توسط ۳۰ سویه که فعالیت آنزیمی بهتری داشتند را در ۳ تیمار دمایی ۵۵، ۳۰ و ۷۰ درجه سانتی‌گراد و در pH ۴/۶ مورد بررسی قرار گرفت. بر اساس نتایج حاصله ۸ سویه K2b ، T37a ، S7e ، B5d ، D3d ، H14d ، H14h ، K36p88 با توجه به دامنه فعالیت آنزیمی و تنوع گیاه میزبان، برای تعیین شرایط بهینه فعالیت بتاگلوکانازی به روش سطح پاسخ و با طرح مرکب مرکزی و با متغیرهای دما، pH و غلظت سوبسترا مورد مطالعه قرار گرفتند. با توجه به نتایج حاصله سویه‌های K36p88 ، H14h ، H14d ، D3d ، T37a ، S7e ، K36p88 و B5d در pH اسیدی و نزدیک به خنثی و رنج دمای ۳۵-۶۵ درجه سانتی‌گراد اپتیمم فعالیت را داشتند. سویه K2b برخلاف سویه‌های فوق در pH قلیایی نیز فعالیت قابل قبولی را داشت. بیشترین اثر فعال کننده و بازدارنده فعالیت آنزیمی به ترتیب مربوط به منگنز و جیوه در غلظت ۱۰ میلی‌مولار بود. بتاگلوکانازهای سویه‌های مورد بررسی در غلظت‌های مختلف سدیم کلرید کاهش شدید فعالیت آنزیمی را داشتند و حضور اتانول ۵ درصد تأثیری زیادی بر فعالیت آنزیم‌ها نداشت.

کلمات کلیدی: بتاگلوکاناز، باسیلوس سابتیلیس، شرایط اپتیمم، روش سطح پاسخ، طرح مرکب مرکزی

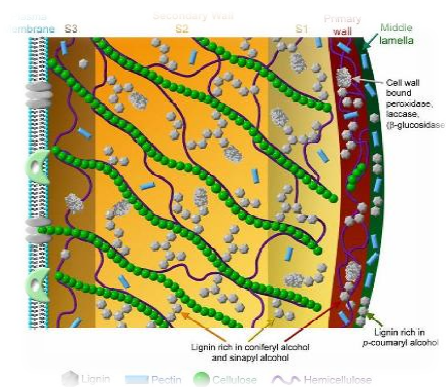
فصل اول

مقدمہ

۱-۱. زیست توده گیاهی

لیگنوسلولز

سلول‌های گیاهان بر خلاف دیگر سلول‌ها دارای دیواره‌ای می‌باشند که به دلیل ساختار ویژه‌اش به گیاه استحکام می‌بخشد. دیواره‌ی سلولی از ترکیباتی به نام لیگنوسلولز^۱ ساخته شده است. همانطور که از نام این ترکیبات پیداست، لیگنین^۲ و سلولز^۳ دو بخش عمده‌ی لیگنوسلولزها را تشکیل می‌دهند. لیگنوسلولز به طور عمده شامل سلولز، همی‌سلولز و لیگنین است که این سه ترکیب به نسبت‌های ۵۰:۲۵:۲۵ در آن حضور دارند. البته در زیست توده‌های گوناگون، نسبت این مواد متفاوت است، اما در کل این سه ماده نزدیک به ۹۰٪ وزن خشک لیگنوسلولز را می‌سازند (Dehkhoda, 2008). به طور ساده، لیگنوسلولز مانند شبکه‌ای است که در آن پلیمر سلولز در غلافی از همی‌سلولز و لیگنین پیچیده شده است. لایه‌های همی‌سلولز و لیگنین، سلولز را از هجوم سلولازها در امان نگاه می‌دارند (شکل ۱-۱). وجود پیوندهای فراوان میان زنجیرهای سلولزی نیز بر دشواری تجزیه‌ی سلولز به قندهای ساده می‌افزاید. با این همه، به کارگیری آنزیم‌های تجزیه‌کننده‌ی سلولز (سلولازها)^۴ و نیز به کارگیری برخی روش‌های فیزیکی و شیمیایی، موجب می‌شود که سلولز و همی‌سلولز به قندهای ساده و قابل تخمیر یعنی گلوکز (حاصل تجزیه‌ی سلولز) و گزیلوز (حاصل تجزیه‌ی سلولز) شوند (Carpita, 1993).



شکل ۱-۱. شمائی از زیست توده لیگنوسلولز

^۱Lignocellulose

^۲Lignin

^۳Cellulose

^۴Cellulases

۱-۲. ساختار سلولز

سلولز، همی سلولز و لیگنین بخش‌های اصلی دیواره سلولی گیاهان هستند. به طوریکه سلولز ۴۰٪، همی سلولز ۳۳٪ و لیگنین ۲۳٪ از وزن خشک گیاه را تشکیل می‌دهند (Kelmm *et al.*, 2005). سلولز فراوانترین و در دسترس‌ترین کربوهیدرات گیاهی است که میزان تقریبی سنتز سالانه آن $10^{11} \times 4$ تن در سال می‌باشد (Kelmm *et al.*, 2005).

سلولز یک سوم وزن درخت‌ها، علف‌ها، نی و کاه را شامل می‌شود. هرچند سلولز تولید شده در گیاهان عالی فتوسنتتیک و جلبک‌ها مانند گونه‌های *Cladophora* در چرخه کربن از بیشترین اهمیت برخوردارند؛ اما موجودات غیرفتوسنتزی مثل باکتری *Acetobacter xylinum*، حیواناتی مانند بی‌مهرگان دریایی، قارچ‌ها، کپک‌های لعابی و آمیب‌ها نیز از تولیدکنندگان سلولز محسوب می‌شوند (Zhang and Lynd, 2005 ; Irwin *et al.*, 2000).

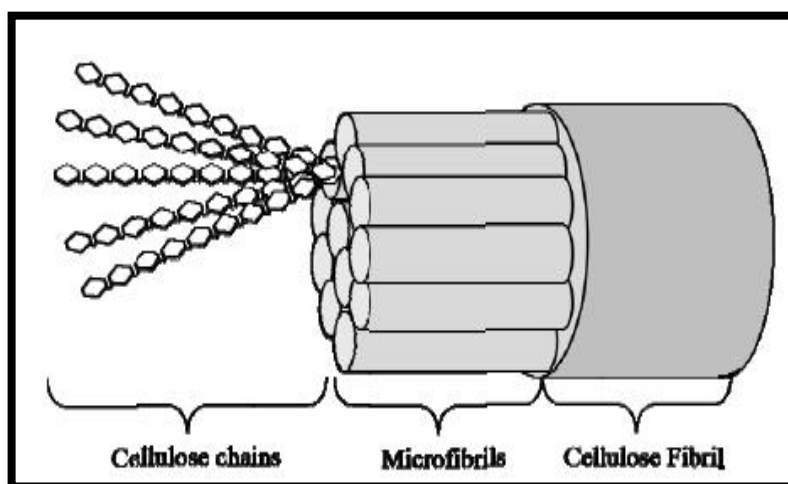
سلولز در قارچ‌ها و جلبک‌ها به تنهایی وجود دارد اما در گروه گیاهان عالی در ترکیب لیگنوسلولز همراه مواد دیگری از قبیل لیگنین می‌باشد که نسبت به سلولز کمتر تحت تأثیر تجزیه بیولوژیکی قرار می‌گیرند. ۱۰ تا ۱۵ درصد از لیگنوسلولز از لیگنین و ۲۵-۳۰٪ آن از همی سلولز و مابقی از سلولز تشکیل شده است (Kumar *et al.*, 2008).

لیگنین موجب محافظت از سلولز در برابر حملات میکروبی می‌شود. سؤال‌های اساسی در ارتباط با مکانیزم تجزیه لیگنوسلولز وجود دارد. موانعی که در این زمینه وجود دارند عوامل متعددی مانند پیچیدگی سوبسترا و تعداد زیاد آنزیم‌های مؤثر می‌باشند (Kinghorn and Turner, 1992).

سلولز مولکول ویژه‌ای است که در طبیعت ساخته شده و در مرحله بیوسنتز بطور خودبخود تجمع می‌یابد. شواهدی وجود دارد که نشان می‌دهد همی سلولزهای همراه سلولز، تجمع مولکول را تنظیم می‌کنند (Lynd *et al.*, 2002).

ساختار سلولز شبیه یک طناب است که از تعداد زیادی زنجیره بصورت رشته‌های کوچک تشکیل شده است که چندین ریزرشته به منظور تشکیل رشته‌های بزرگتر سلولزی با یکدیگر تجمع می‌یابند (شکل ۱-۲). واحدهای تکرارشونده در ساختار سلولز، سلوبیوزهای بدون آب‌اند که مولکول‌های گلوکز بدون آب مجاور در آن نسبت به همسایه خود ۱۸۰ درجه حول محور اصلی چرخش دارند. سلولز را اغلب با درجه پلیمریزاسیون توصیف می‌کنند که تعداد متوسط

باقیمانده‌های گلوکان در مولکول را می‌گویند و با علامت ^۵ (DP) نمایش می‌دهند مقدار متوسط DP در سلولز طبیعی بسته به منبع آن بین ۱۰۰۰ تا ۱۴۰۰۰ واحد گلوکز و بطور متوسط ۳۵۰۰ است (Kinghorn and Turner, 1992). زنجیره‌های سلولز توسط پیوندهای هیدروژنی داخل و بین مولکولی محکم می‌شوند و صفحات حاصل روی یکدیگر قرار گرفته و توسط پیوندهای ضعیف و اندروالس بین صفحه‌ای در کنار یکدیگر استحکام می‌یابند، سپس این لایه‌ها فشرده شده تا شبکه کریستالی را شکل دهند (Irwin *et al.*, 2000). در واقع سلولز یک هوموپلیمر خطی متراکم می‌باشد که از نظر ساختاری ناهمگن است و حاوی دو ناحیه بسیار کریستالی با نظم زیاد و نواحی ساختاری بانظم کمتر (بی شکل) است (Voutilainen *et al.*, 2008 ; Baldrian and Valascova, 2008).



شکل ۱-۲. ساختار رشته‌های سلولز

سلولز طبیعی ۷۰٪ کریستالیزه است. با اینکه ساختار شیمیایی آن ساده است (Baldrian and Valascova, 2008)؛ اما ویژگی‌های فیزیکی آن مانند درجه کریستالیزه بودن و وزن مولکولی آن بسیار متغیر است (Nutt, 2006). تجزیه و تحلیل پراش پرتو X از ساختار کریستالی سلولزها نشان می‌دهد (Kumar *et al.*, 2008). طرح اتصال‌های داخل مولکولی، فرم بسته‌بندی و شکل پیوندهای هیدروژنی می‌تواند منجر به اشکال بسیار پیچیده‌ای شود (Nutt, 2006). طی سال‌های گذشته تعداد ساختارهای کریستالی سلولزی شناخته شده از چندین مورد به حدود ۲۳۰ عدد افزایش یافته است (Zhang and Lynd, 2005). سرعت هیدرولیز آنزیمی سلولز شدیداً تحت تأثیر درجه کریستالی آن قرار

⁵Degree of Polymerization

دارد شکل کریستالی به تجزیه میکروبی و آنزیمی بسیار مقاوم است در حالیکه سلولز بی‌شکل بسیار سریع‌تر هیدرولیز می‌شود (Kumar *et al.*, 2008). سلولز بصورت خالص سفید رنگ است. در آب، اسیدها و قلیایی‌های رقیق نامحلول بوده و بهترین حلال آن محلول شوایتزر^۶ است (محلول آمونیاکی سولفات مس). سلولز در محلول کلرید روی در اسید کلریدریک، اسید سولفوریک غلیظ و سود غلیظ حل می‌شود. هیدرولیز تدریجی آن بوسیله اسیدهای معدنی، تولید دی‌ساکارید سلوبیوز می‌کند. هیدرولیز نهایی آن منحصراً مولکول‌های D-گلوکز تولید می‌کند (Miyamoto, 1997).

۱-۳. انواع سلولاز

آنزیم‌های تجزیه‌کننده سلولز (سلولازها) به وسیله میکروارگانیسم‌های مختلف شامل قارچ‌ها و باکتری‌ها تولید می‌شوند. این آنزیم‌ها می‌توانند به صورت خارج سلولی، داخل سلولی یا متصل به غشا تولید شوند. هر سیستم سلولاز خود مجموعه‌ای کامل از سه آنزیم اصلی است (Jorgensen and Olsson, 2006). امروزه دسته‌بندی مجموعه آنزیم سلولاز براساس نوع فعالیت کاتالیتیک (Duan, 2010) و نوع سوبسترای اختصاصی آنهاست (Vries and Visser, 2001) که به شرح زیر می‌باشند:

۱- اندوگلوکاناز با اسامی دیگری چون اندو-۱، ۴-بتا-دی-گلوکاناز، اندوسلولاز و کربوکسی‌متیل‌سلولاز (Maheshwari *et al.*, 2000)، که نامگذاری آخر یعنی کربوکسی‌متیل‌سلولاز بعد از استفاده از سوبسترای ساختگی کربوکسی‌متیل‌سلولز برای اندازه‌گیری فعالیت آنزیم، استفاده شد (Dashtban *et al.*, 2009)، چرا که این آنزیم را معمولاً با کاهش چسبناکی^۷ محلول‌های کربوکسی‌متیل‌سلولز سنجش می‌کنند (Kinghorn and Turner, 1992). این آنزیم که کمتر از ۲۰٪ کل پروتئین سلولاز را تشکیل می‌دهد (Edwards *et al.*, 2008)؛ بطور تصادفی پیوندهای گلیکوزیدی بتا-۱، ۴ را در داخل زنجیره سلولز می‌شکند و به دنبال آن الیگوساکاریدهایی با طول‌های متفاوت و در نتیجه انتهای آزاد تولید می‌کند (Lynd *et al.*, 2002). این آنزیم

⁶ Schwaitzer

⁷ Viscosity